# 地上磁場観測と FM-CW レーダーを用いた サブストーム時の全球電磁場応答の解析 -FACの遠隔効果と電場侵入-

林 萌英 $^1$ , 吉川 顕正 $^1$ , 大谷 晋 $^2$ , 西村 幸敏 $^3$ , 藤本 晶子 $^4$ 

- 1. 九州大学
- 2. ジョンズホプキンス 大学応用物理研究所
- 3. ボストン大学
- 4. 九州工業大学

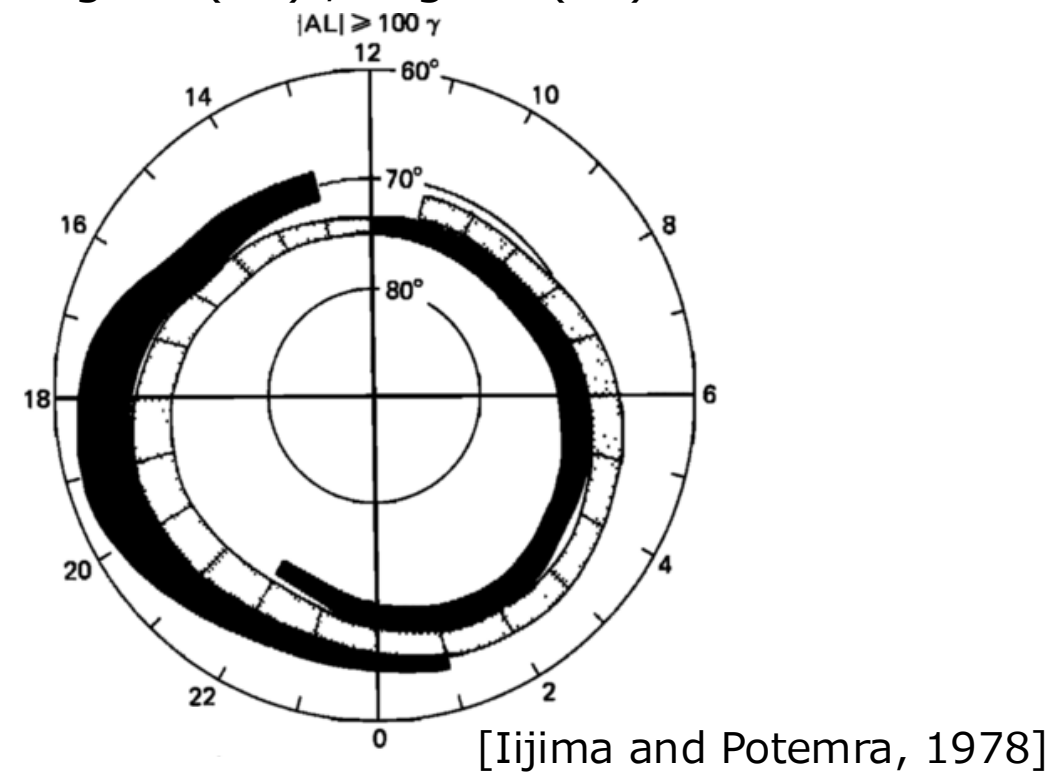
### 目次

- 1. 背景
  - ▶サブストームに伴う電流系
  - ▶サブストーム中の電磁場応答の先行研究
- 2. 目的
- 3. データ
- 4. 手法
- 5. 結果
  - ✓磁場応答(Case study/統計解析)
  - ✓電場応答(Case study/統計解析)
  - ✓昼夜のFAC変動と電場の関係

# 背景

#### サブストーム中に発生・発達する電流系

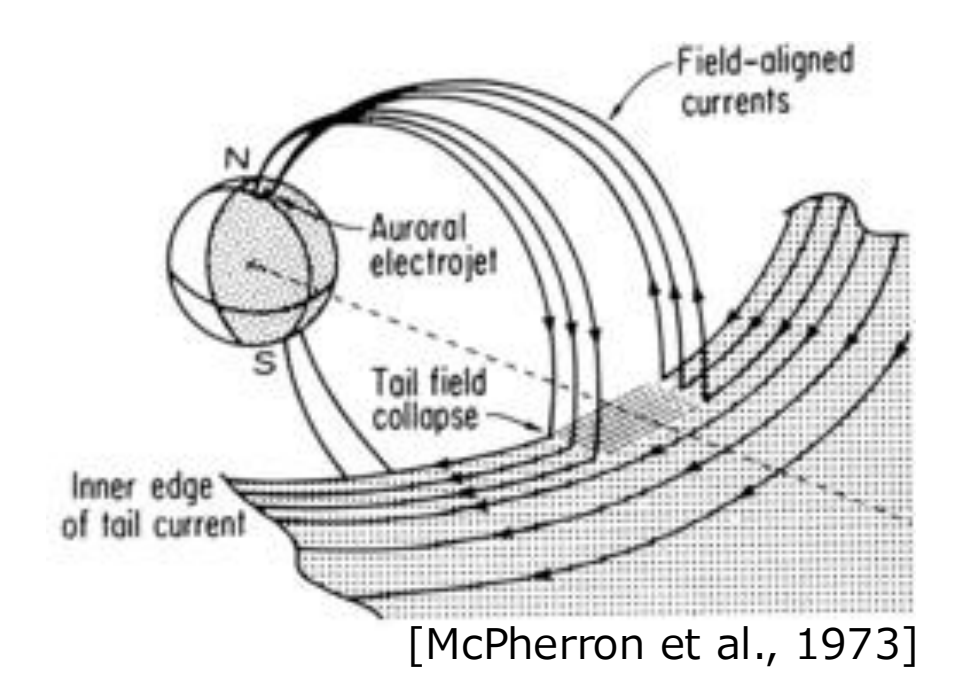
Region1(R1), Region2(R2) 電流



R1 電流:磁気圏対流を反映

R2 電流:内部磁気圏の高圧プラズマにより駆動

Substorm Current Wedge(SCW)



サブストーム発生時の プラズマインジェクションにより発生

# 背景(グローバルな磁場変動)

### サブストーム中の中低緯度の磁場変動

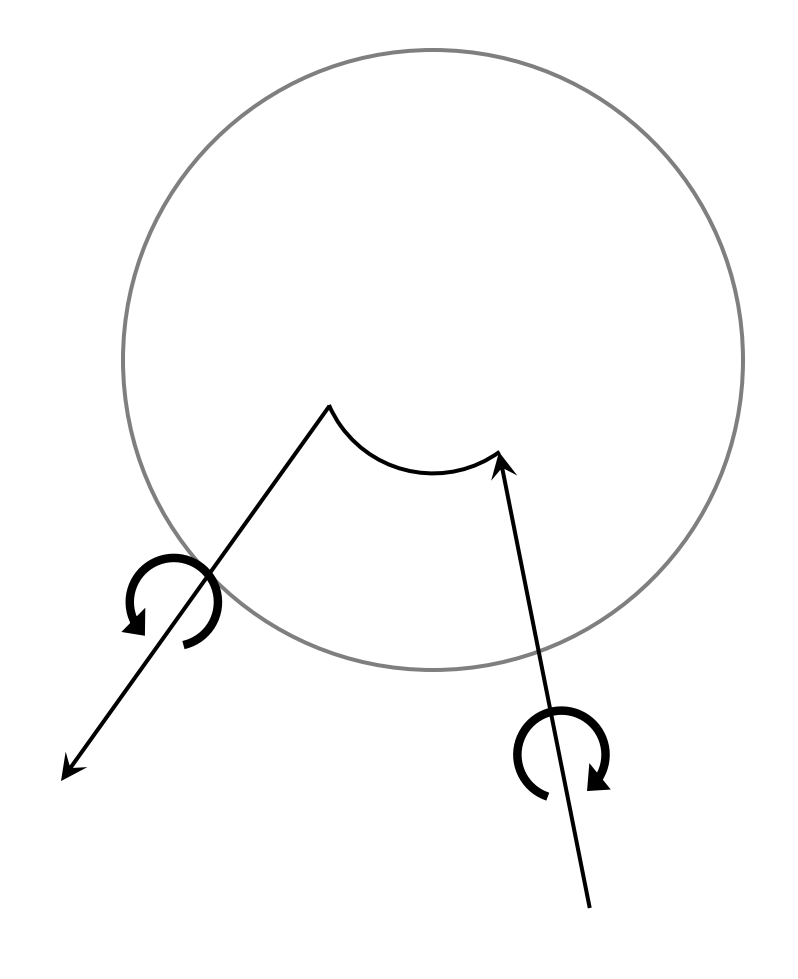
SCWの影響によるH成分の減少(昼側)

[Clauer and McPherron, 1974; Ohtani et al., 2021]

一方、

昼側と夜側の両方でH成分増加

[Clauer et al., 2006; Huang 2009]



# 背景(グローバルな電場変動)

### サブストーム中の中低緯度の電場変動

対流の増加に伴いR1電流が強化

#### →朝側から夕側に向かう電場発生

[Huang et al., 2004; Huang, 2009]

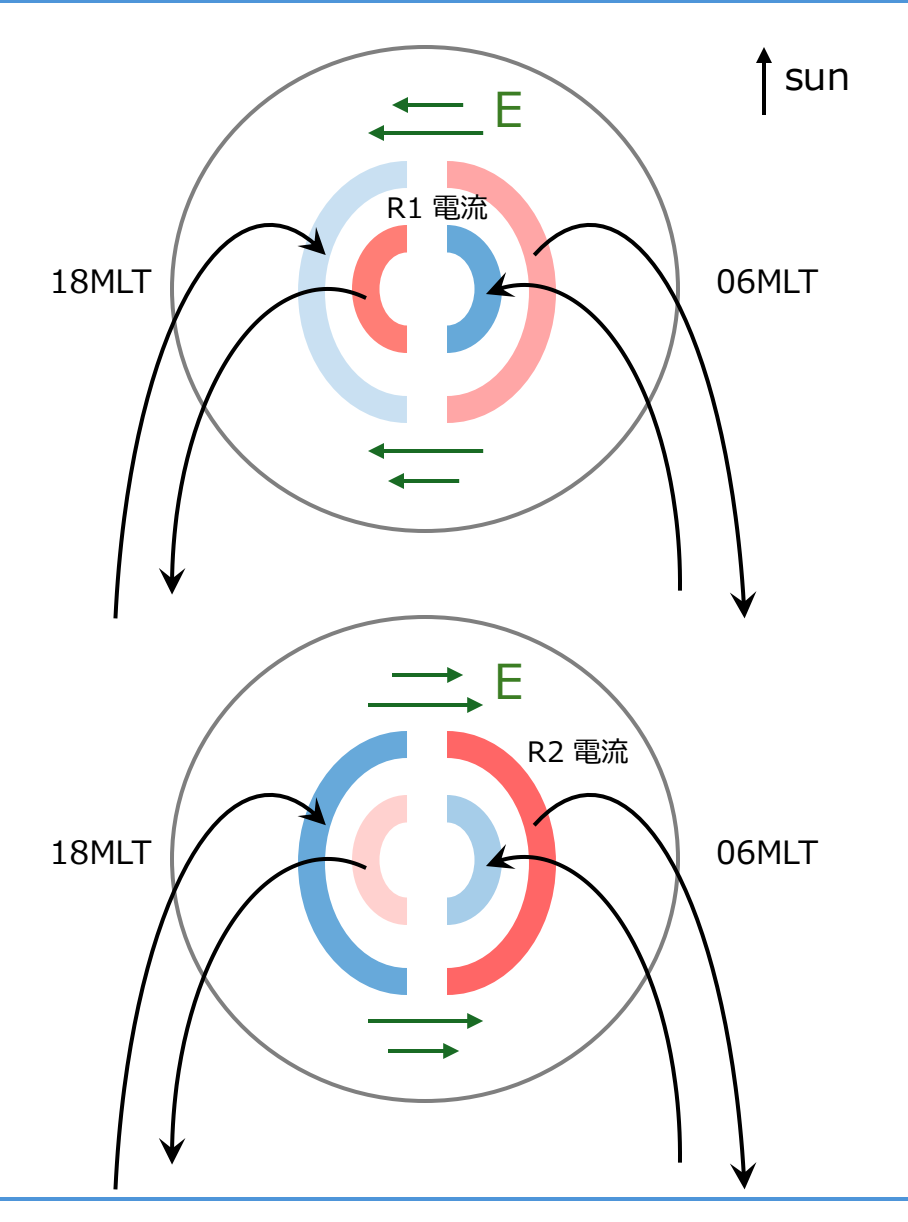
#### 一方、

対流の減少に伴うR1電流の弱化

or 内部磁気圏の高圧プラズマ

#### →夕側から朝側に向かう電場発生

[Gonzales et al., 1979, Sibeck et al., 1998, Kikuchi et al., 2003]



# 目的

#### モチベーション

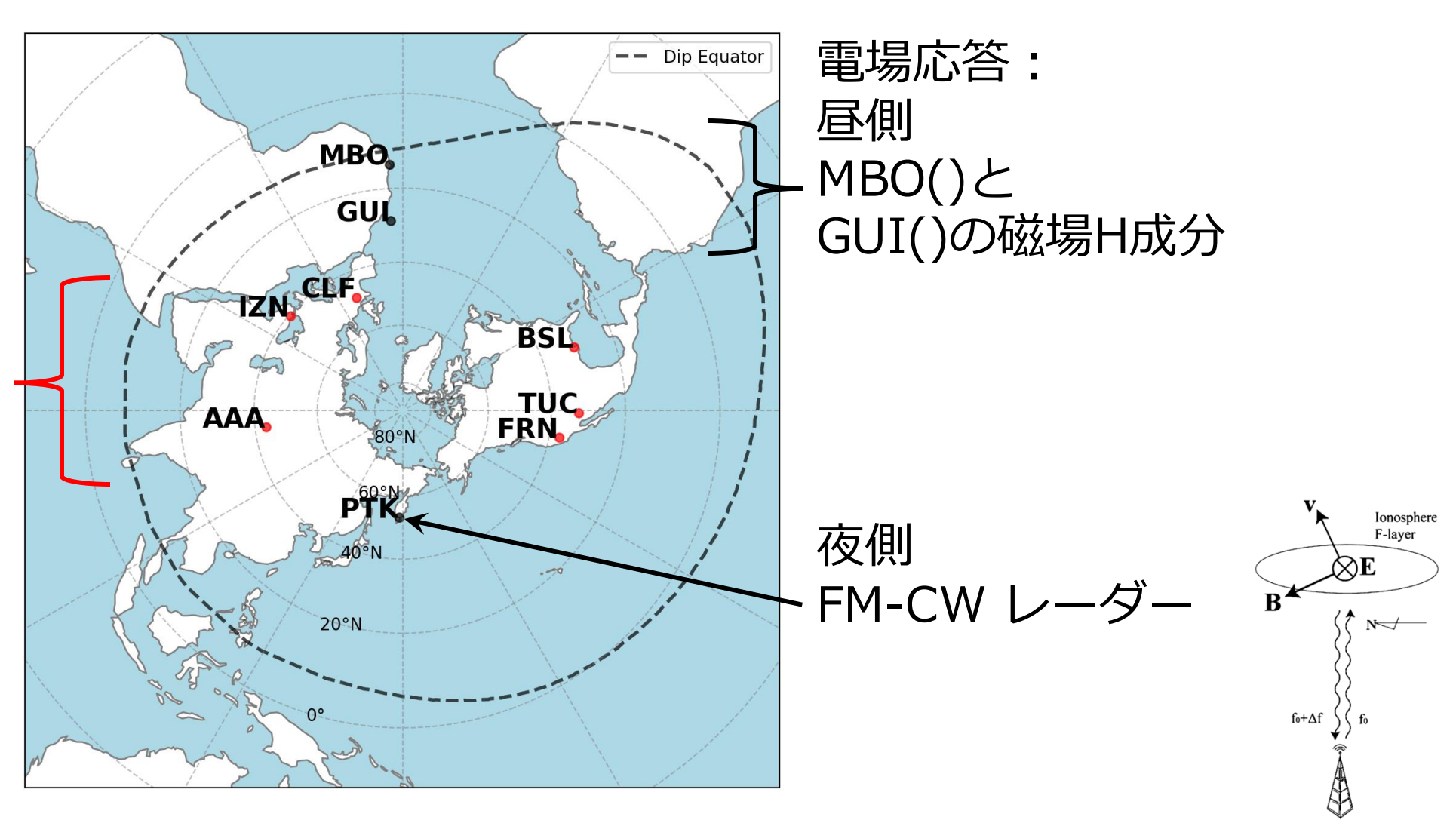
- サブストーム中の電磁場応答については、様々な説が提唱 されている
- どちらがより一般的に発生するのか、統計的に分かっていない

#### 本研究の目的

• Superposed Eposh Analysisを用いてサブストーム中の 電磁場応答の統計的な様相を明らかにする

#### 磁場応答:

中低緯度6観測点の H成分(南北成分) D成分(東西成分)

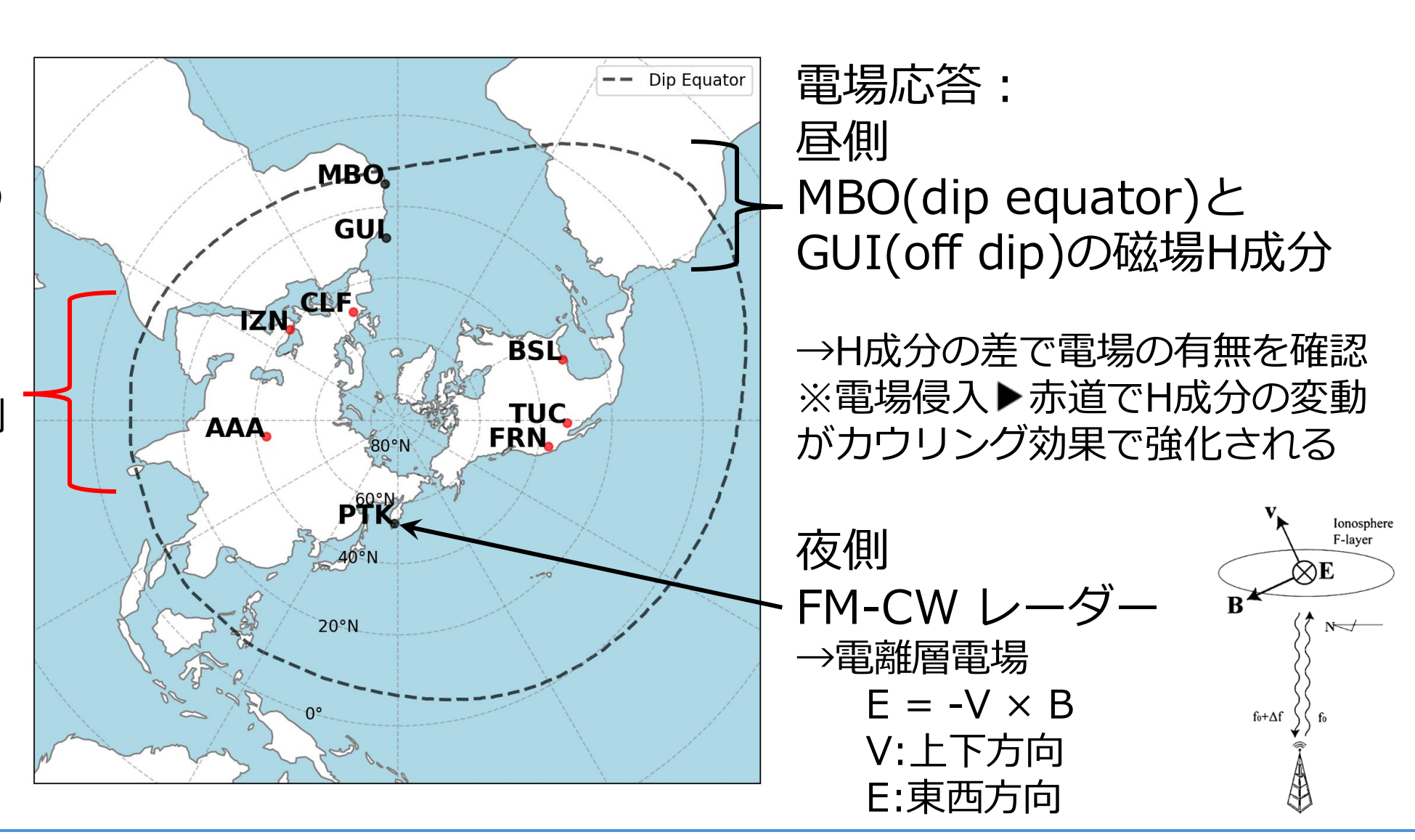


## 手法

#### 磁場応答:

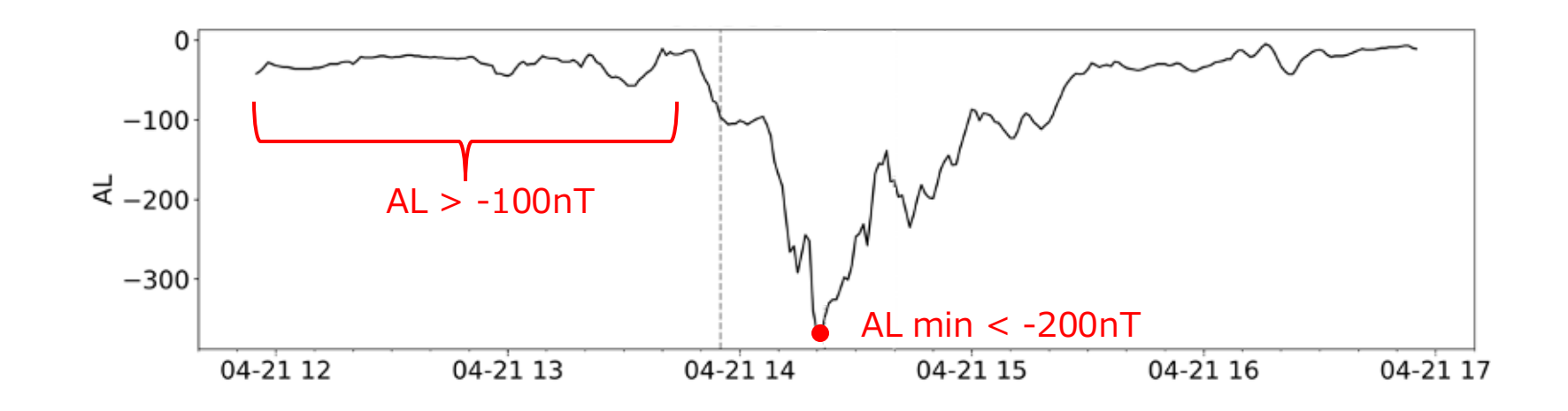
中低緯度 6 観測点の H成分(南北成分) D成分(東西成分)

→FACが作る磁場を観測



# イベント選定

#### • 孤立型サブストーム



- AL : AL(-2h to onset) > -100, AL min < -200nT
- PTK (電場観測点) が22-02MLTに位置
- 170イベント(2009-2011年)

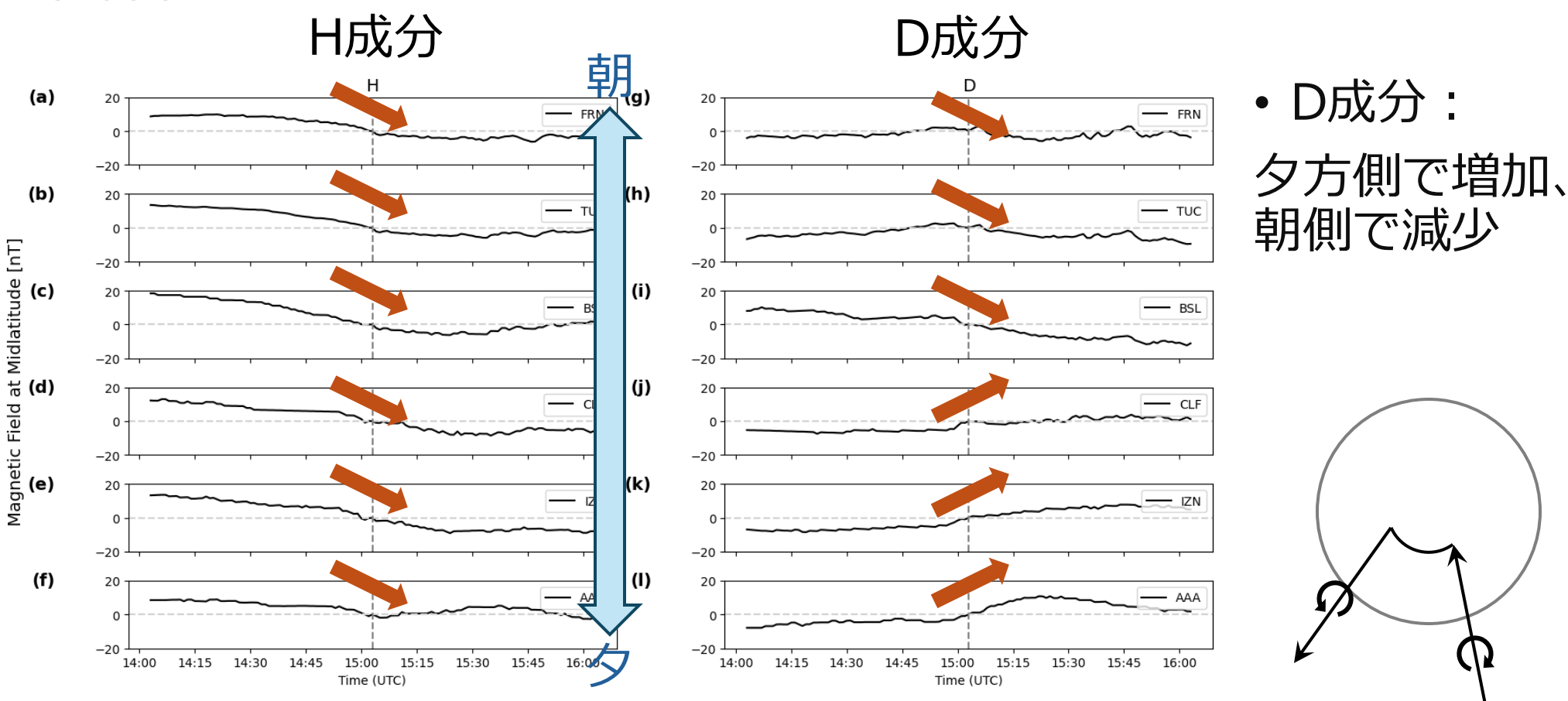
# 結果(磁場応答のケーススタディ)

2010年11月23日 15:03UT

• H成分:

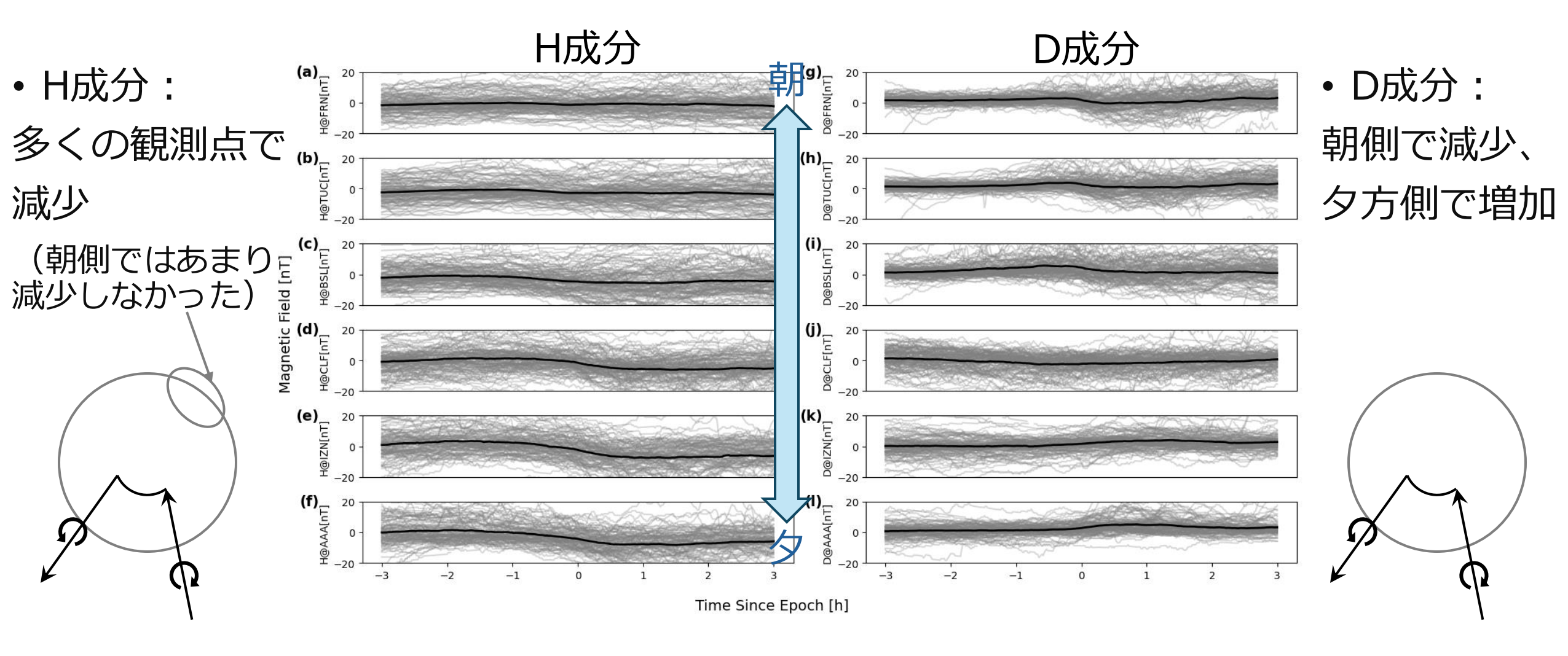
多くの観測点で

減少



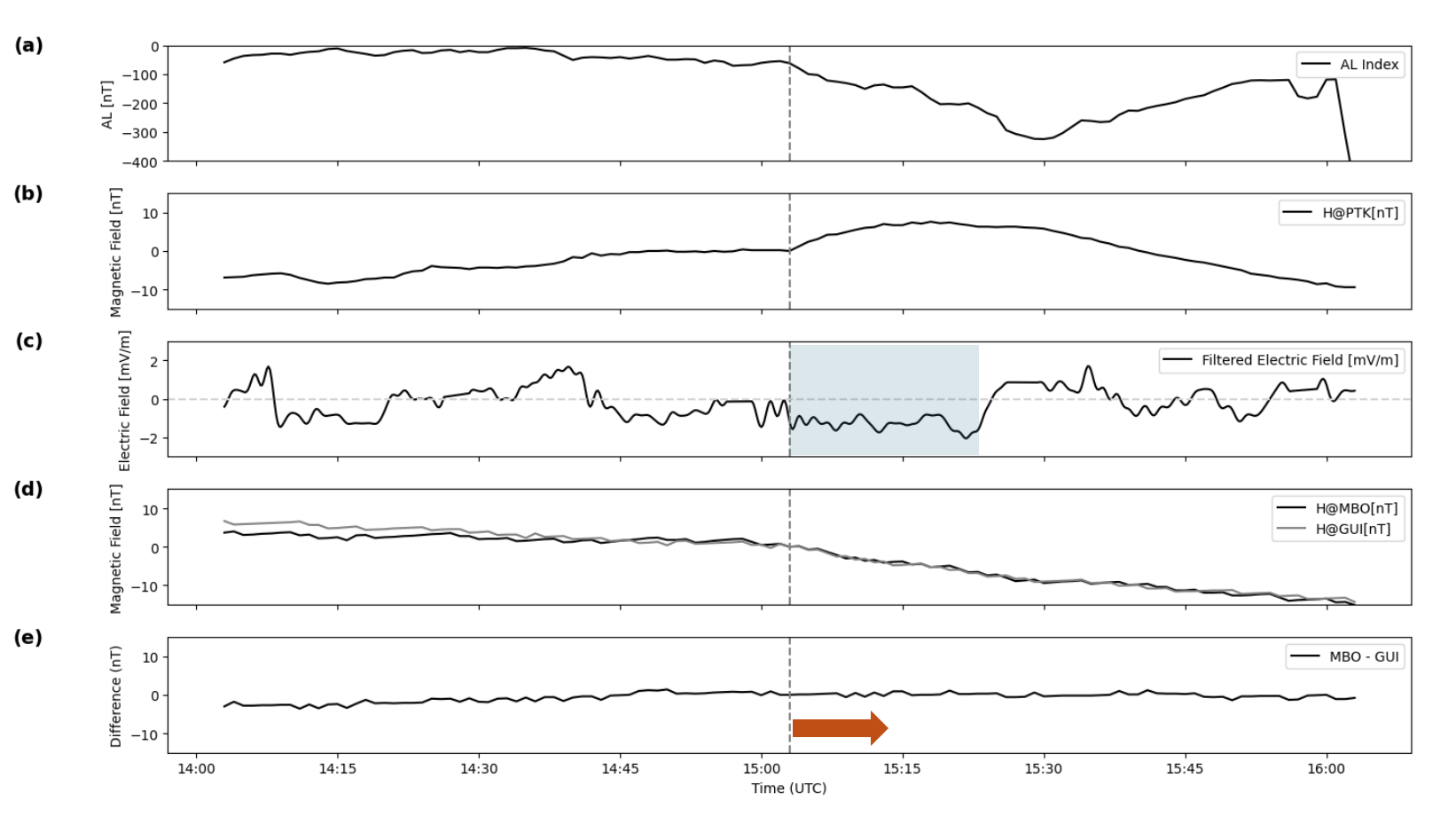
• 中緯度の観測点でグローバルにSCWの遠隔効果が観測された

# 結果(磁場応答の統計解析)



• 中緯度の観測点でグローバルにSCWの遠隔効果が観測された

# 結果(電場応答のケーススタディ)



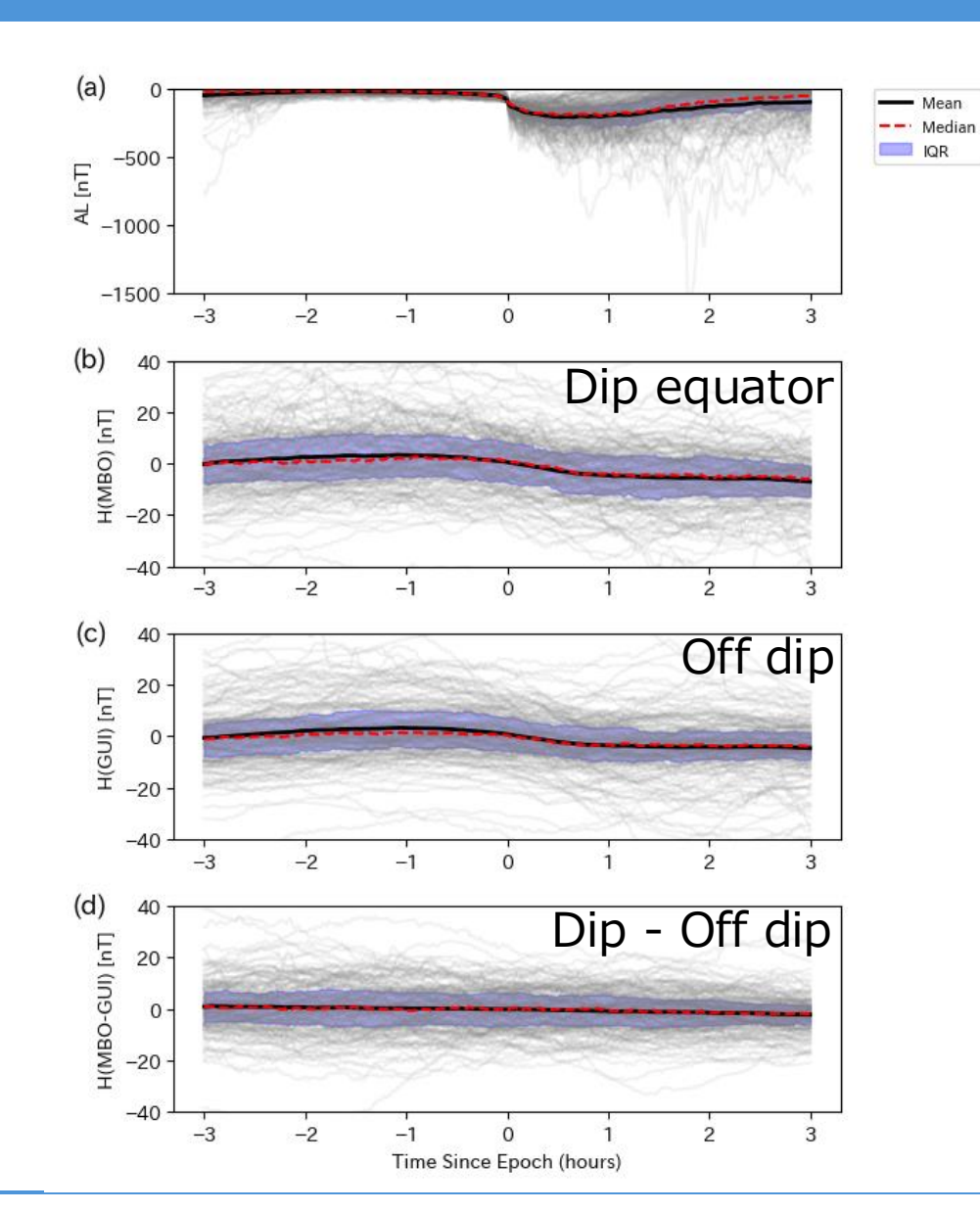
2010年11月23日 15:03UT

- 300nTの小規模サブストーム
- 夜側中緯度西向き電場を観測
- 昼側

赤道と低緯度のH成分の変動 に差がない

=電場侵入はほとんど観測されなかった

## 結果(電場応答の統計解析)



赤道と低緯度のH成分の変動に差がない=昼側の電場侵入はほとんど観測されなかった

※(b)と(c)のH成分の減少はSCWの遠隔効果

## 考察

### 孤立型サブストーム中の電磁場応答の統計解析

#### 磁場変動:

- H成分は減少、D成分は朝側で減少、夕側で増加
  - →SCWの遠隔効果

#### 電場変動:

- 赤道と低緯度のH成分の変動に差がない
  - →昼側の電場侵入は、統計的には、**ほとんど観測されなかった**。

### 考察

### 孤立型サブストーム中の電磁場応答の統計解析

#### 磁場変動:

- H成分は減少、D成分は朝側で減少、夕側で増加
  - →SCWの遠隔効果

先行研究[Clauer and McPherron, 1974; Ohtani et al., 2021]と一致。

※D成分を追加し、より包括的にSCWの効果を捉えた。

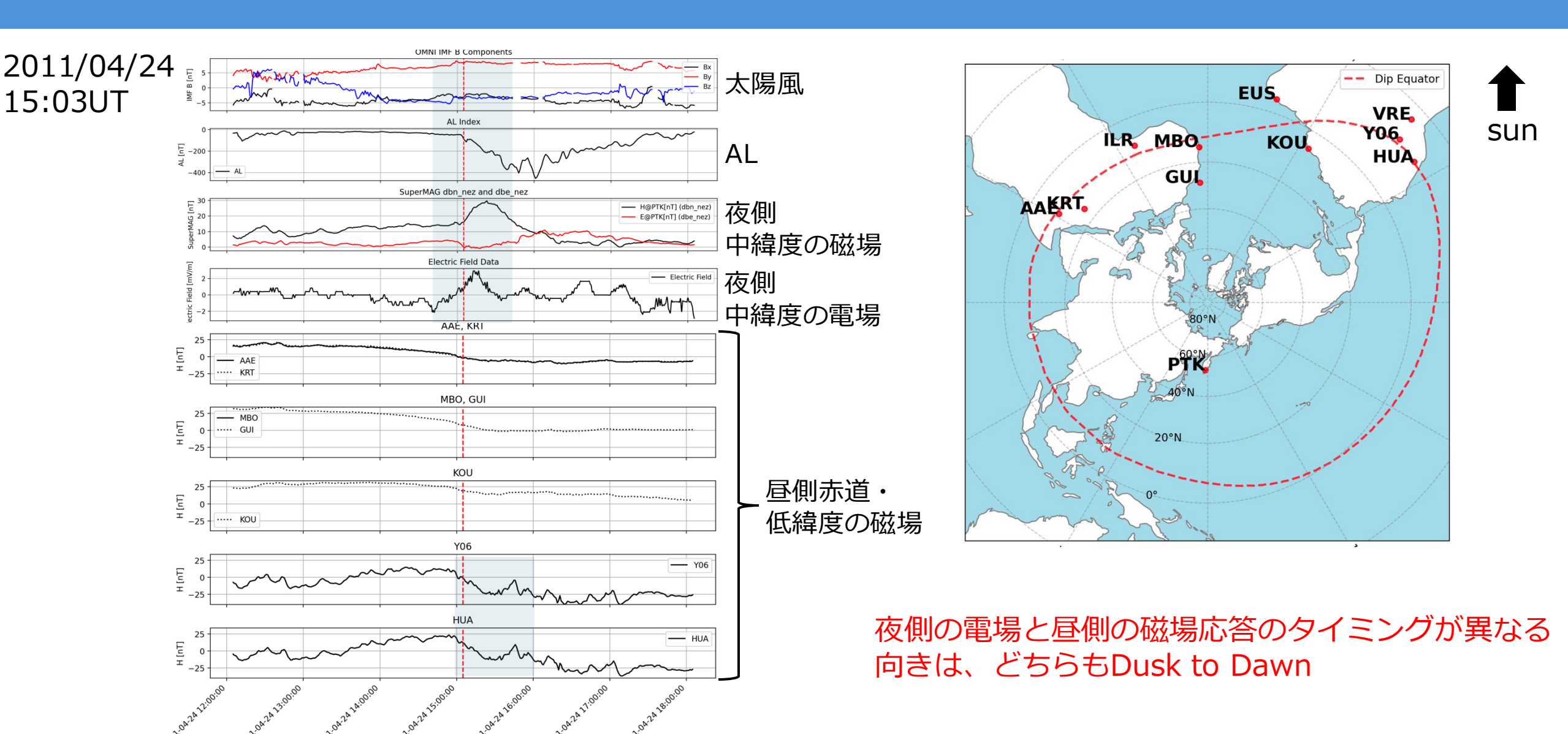
しかし、[Clauer et al., 2006; Huang 2009]とは不一致。 sawtooth サブストームと孤立型サブストームの違い?

#### 電場変動:

- 赤道と低緯度のH成分の変動に差がない
  - →昼側の電場侵入は、統計的には、ほとんど観測されなかった。

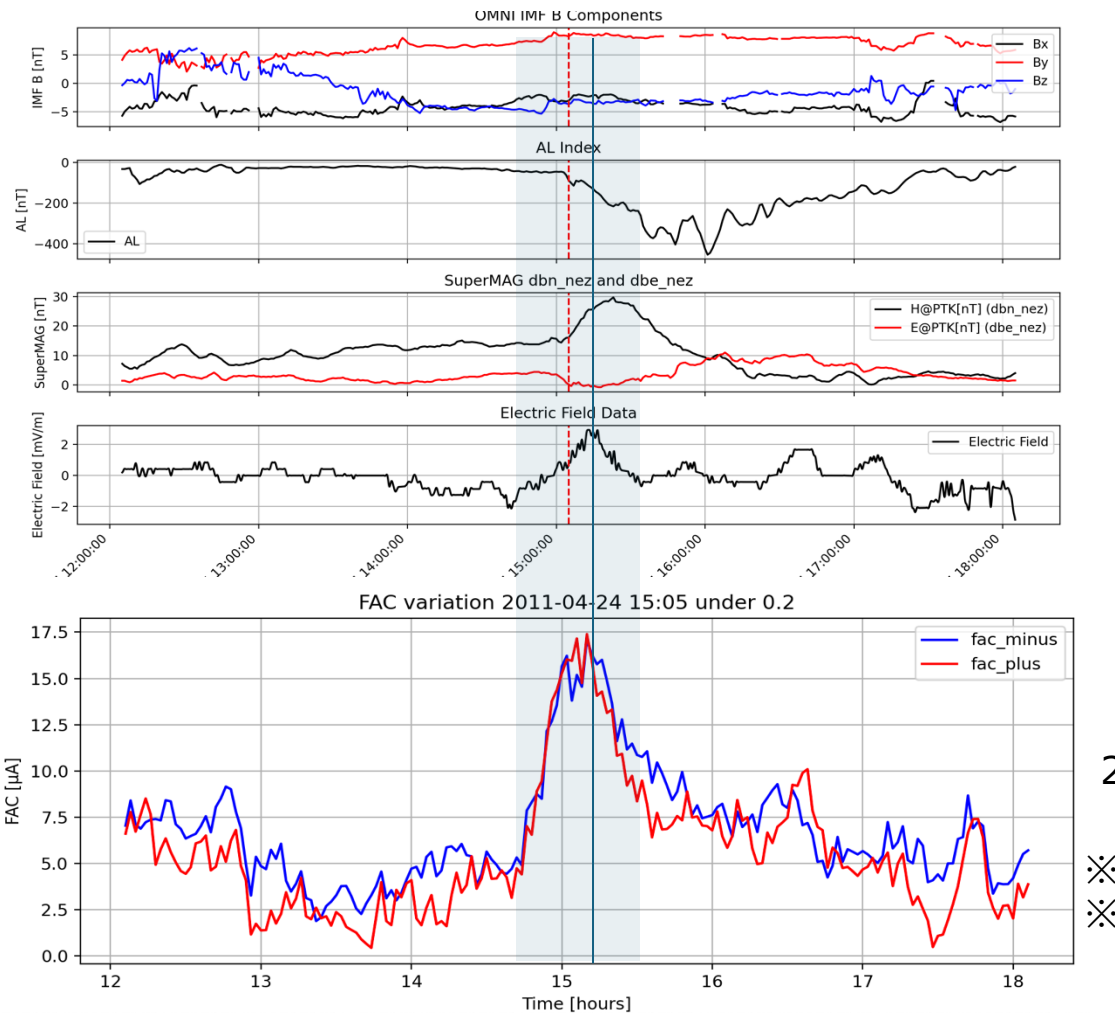
電場侵入したイベントもいくつかある。何が電場侵入の有無、向きを決める?

### 昼で電場変動が確認されたケース



### 昼で電場変動が確認されたケース

#### <u>夜側の電場を夜側(22-02LT)のFACと比較</u>



- FM-CWで観測した夜側の電場変動と
- ➤ AMPEREで観測した
  22-02LTのFAC総量の変動

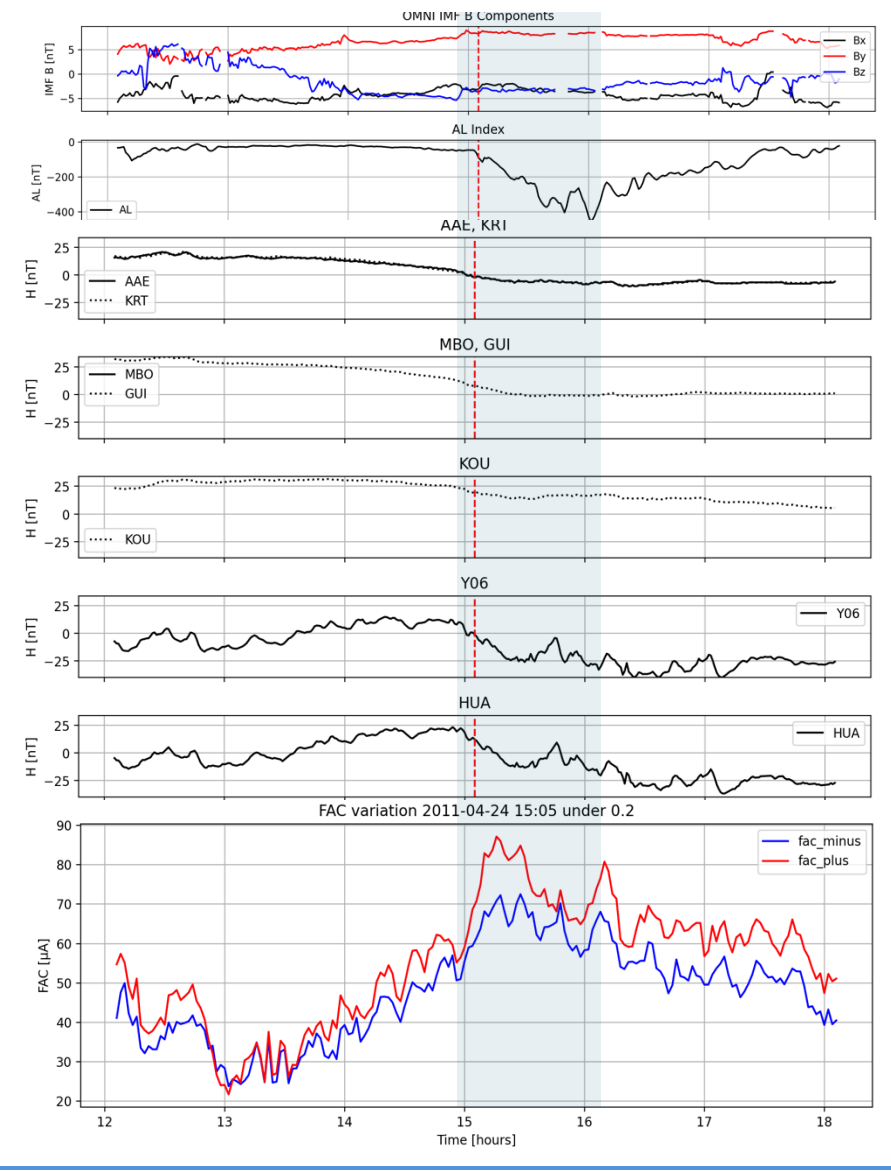
17

が一致。

22-02LTで積分

- ※緯度80度以下を積分
- ※電流密度が0.2μA/m<sup>2</sup>値を積分

### 昼で電場変動が確認されたケース



夜側の電場を夜側(22-02LT)のFACと比較

- ▶ H成分(赤道一低緯度)で 観測した昼側の電場変動と
- ➤ AMPEREで観測した
  10-14LTのFAC総量の変
  動

が一致。

昼と夜の電場変動は、 それぞれ応答のタイミングが異なり、 昼と夜のFACの変動と対応。

10-14LTで積分

- ※緯度85度以下を積分
- ※電流密度が0.2μA/m<sup>2</sup>値を積分

### 結論

### 孤立型サブストーム中の電磁場応答特性

#### 磁場変動:

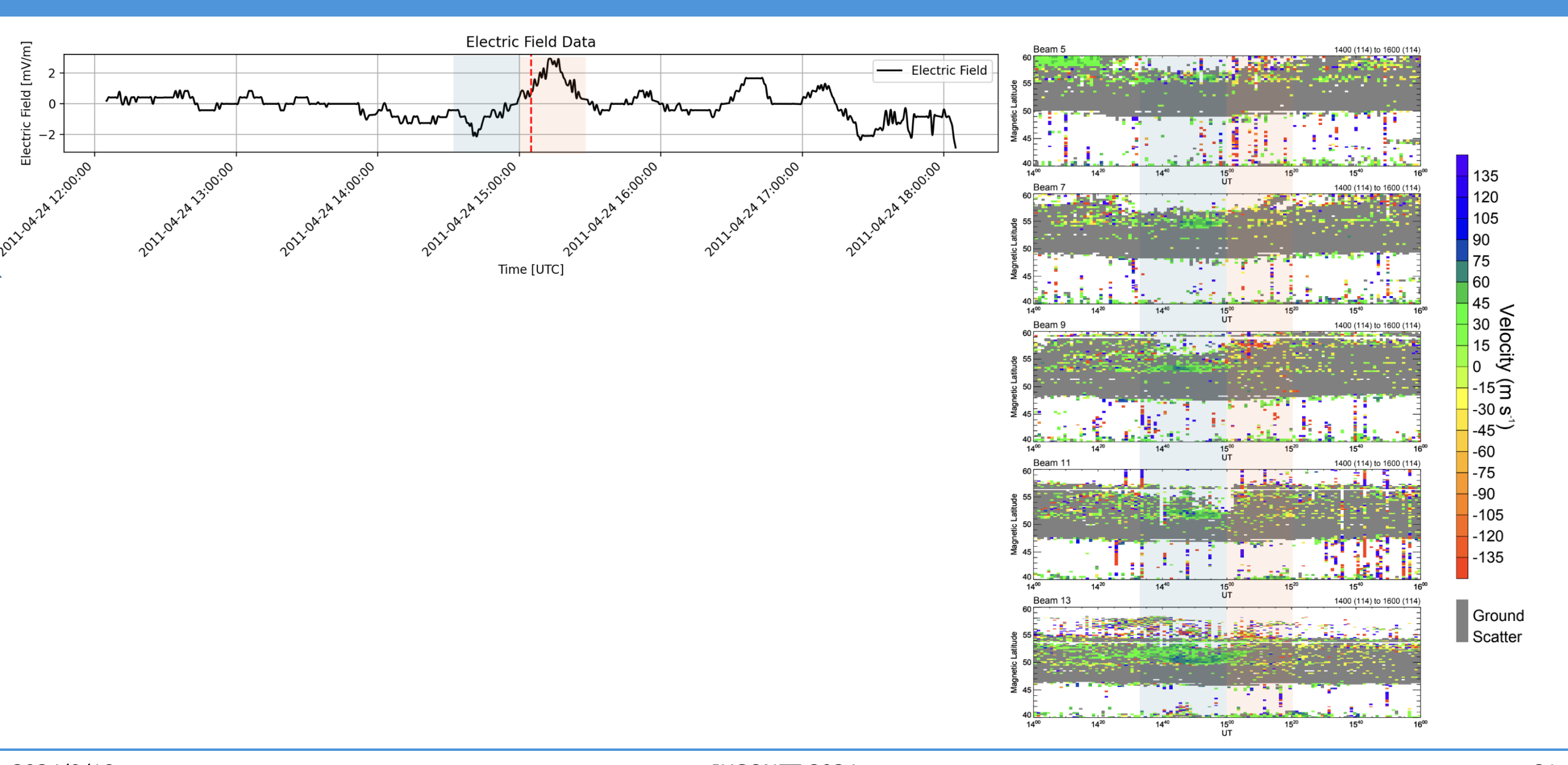
- H成分は減少、D成分は朝側で減少、夕側で増加
  - →SCWの遠隔効果

#### 電場変動:

- 赤道と低緯度のH成分の変動に差がない
  - →昼側の電場侵入は、統計的には、**ほとんど観測されなかった**。
- 昼側で電場変動が観測された場合:
  - →昼と夜で電場の変動が異なるタイミングで現れ、それぞれがFACの 変動と一致した。

# 補助資料

・タイミングは説明できるが向きは説明できない →SuperDARNを使って2次元的に電場を見てみる



#### 2011/04/24 15:05のイベント

